

実験計画法における二値データの解析

日本エステル㈱ 松本哲夫*

日科技連 DEO 部会

1. 緒言
実験結果として、たとえば良品に0、不良品に1を与えたような場合、観測値は0と1の値しか知らない二値データとなる。この場合に、処理効果の有無を判定する方法として観測値0, 1をあたかも計量値であるかのように取扱う、いわゆる(0,1)法分離分析がある。本報では斬近理論の使えない場合すなむちが十分大きいときは言えない場合についてシミュレーションにより検出力を求め、(0,1)法など実際によく用いられる方法^(注1)について検討した。

2. 2水準の1元配置の場合

最も簡単な例として、繰り返しのある2水準の1元配置を考えると、データは表1のようになります。表1において $X_{i,j} (j=1,2, \dots, n)$ は0か1かの値をとり、当然 $X_{i,j}^2 = X_{i,j}$ である。以下に述べる各方法は^(注2)が無限大のとき、斬近理論によリ一致するが、nが十分大きいことは言えない場合、たとえば(0,1)法分離分析の場合、帰無仮説を立てるべての処理効果がなく、かつ(i)サンアル数が大きくて正規近似が可能であるというふうに興味のない場合にしか理論的には適用できないという問題がある。以下を述べ

る方法について、検定方法の概略を示す。

2.1 (0,1)法分離分析

NO	1	2	3	---	n
処理 A1	x11	x12	x13	...	x1n
理 A2	x21	x22	x23	...	x2n

表 1. 2水準の1元配置のデータ
(0,1)法分離分析の場合、各平方和は次のようにして計算される。

$$S_T = \sum_{i=1}^2 \sum_{j=1}^n X_{i,j}^2 - \left(\sum_{i=1}^2 \sum_{j=1}^n X_{i,j} \right)^2 / 2n \quad (1)$$

$$= 2n\hat{P}(1-\hat{P})$$

$$\begin{aligned} S_A &= \frac{1}{n} \sum_{i=1}^2 \left(\sum_{j=1}^n X_{i,j} \right)^2 - \left(\sum_{i=1}^2 \sum_{j=1}^n X_{i,j} \right)^2 / 2n \\ &= \frac{n}{2} (\hat{P}_1 - \hat{P}_2)^2 = \nabla_A \end{aligned} \quad (2)$$

$$S_E = S_T - S_A$$

$$= n \left\{ \hat{P}_1 (1-\hat{P}_1) + \hat{P}_2 (1-\hat{P}_2) \right\} \quad (3)$$

$$\therefore \nabla_E = S_E / \phi_E$$

$$= \frac{1}{2} \left\{ \hat{P}_1 (1-\hat{P}_1) + \hat{P}_2 (1-\hat{P}_2) \right\} \quad (4)$$

$$\text{ただし、 } \hat{P}_i = \sum_{j=1}^n X_{i,j} / n \quad (i=1,2) \quad (5)$$

$$\text{また、 } \hat{P} = (\hat{P}_1 + \hat{P}_2) / n \quad (6)$$

であり、 $\phi_E = 2n - 2 \div 2n$ とした。
ここで F_0 すなむち $\nabla_A / \nabla E$ を $F(1, 2n)$; 0.05) と比較し、 $F_0 \geq F$ なら、仮説 H_0 :

$P_1 = P_2$ を棄却する。

2.2 逆正弦変換法

\hat{P}_1, \hat{P}_2 をそれぞれ逆正弦変換し、

$$t_0 = \frac{\sin^{-1}\sqrt{\hat{P}_1} - \sin^{-1}\sqrt{\hat{P}_2}}{\sqrt{2 \times \frac{1}{4\pi}}} \quad (7)$$

を $t_0 (2n; 0.05)$ と比較し、 $|t_0| \geq 7$ なら、
仮説 H_0 を棄却する。

2.3 2X2分割表

表 1. のデータを表 2. の 2X2分割表に書き改めろ。表 2.において統計量 $\chi^2_{0,0}$ 、すなはち

$$\chi^2_{0,0} = \frac{2n \cdot [n(1-\hat{P}_1)\hat{P}_2 - n^2(1-\hat{P}_2)\hat{P}_1]^2}{\pi \cdot n \cdot 2n(1-\hat{P}) \cdot 2n\hat{P}} \quad (8)$$

$= S_A / \hat{P}(1-\hat{P})$
と $\chi^2(1; 0.05)$ を比較し、 $\chi^2_{0,0} \geq \chi^2$ なら、
仮説 H_0 を棄却する。

表 2. 2X2分割表

	良品	不良品	計
A1	$n \cdot (1-P_1)$	$n \cdot P_1$	n
A2	$n \cdot (1-P_2)$	$n \cdot P_2$	n
計	$2n \cdot (1-P)$	$2n \cdot P$	$2n$

2.4 Welch の方法

帰無仮説 H_0 が正しくない時には等分散性が成立しないので、Welch の方法で大検定することが考えられる。この場合、各統計量は次のようにして計算され、自由度はサタスウェートの式で求められる。

$$S_1 = \sum_{j=1}^n \chi_{1,j}^2 - \left(\sum_{j=1}^n \chi_{1,j} \right)^2 / n \quad (9)$$

$$\therefore V_1 = S_1/n = \hat{P}_1 (1-\hat{P}_1) \quad (10)$$

同様にして

$$V_2 = \hat{P}_2 (1-\hat{P}_2) \quad (11)$$

$$\therefore t_0 = \frac{\hat{P}_1 - \hat{P}_2}{\sqrt{(V_1 + V_2)/\pi}} = \frac{\sqrt{V_A}}{\sqrt{V_E}} \quad (12)$$

を $t_0^* (\phi_E^*; 0.05)$ と比較し、 $|t_0| \geq t_0^*$ なら仮説 H_0 を棄却する。ただし

$$\phi_E^* = \frac{(V_1 + V_2)^2}{V_1^2/n + V_2^2/n} \quad (13)$$

2.5 Fisher の直接確率

2X2分割表においては超幾何分布の確率を計算することにより、正確に独立性の検定ができる。すなはち表 2. の要素のうち最もも小さいを取り、それに対する周辺度数を固定した時、最小の要素以下のものが出現する確率が 5% 未満ならば仮説 H_0 を棄却する。

2.6 シミュレーション結果 (1)

図 1., 図 2. には $np = 5$ に保った時の各方の検出力を、 $n = 10$ および $n = 25$ についてそれそれぞれ図示した。 $n \geq 25$ については各方の差異はほとんどなく、一方、 $n \leq 10$ においては若干の差異が見られる。一般に、(0,1) 法分散分析と Welch の方法が検出力が高く、次いで逆正弦変換であり、2X2 分割表と Fisher の直接確率が最も検出力が低い。

3. 1元配置の場合

やや複雑な例として、繰り返しのある 1 元配置を考えて、データは表 3. のように与えられる。また表 4. の $2 \times k$ 分割表のようになります。また表 4. の $2 \times k$ 分割表のように書き改めることもできる。ここで

$$\hat{P}_i = \frac{1}{k} \sum_{j=1}^k X_{i,j} / n \quad (i=1, 2, \dots, k) \quad (14)$$

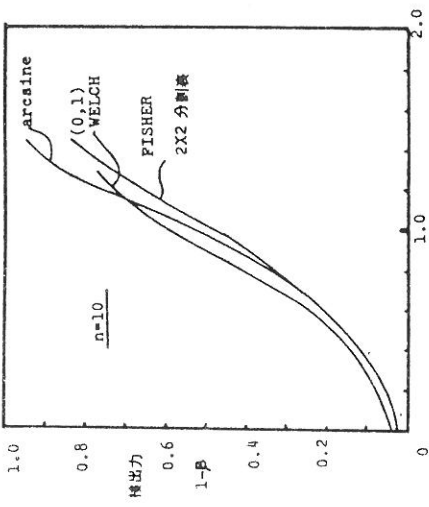


Fig. 1 DELTA
SIMULATION 結果 (繰り返し10000回)
n=10

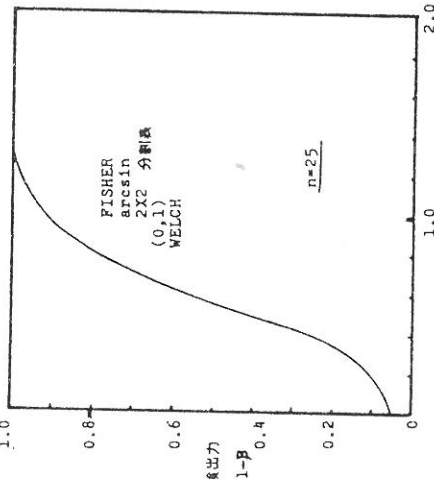


Fig. 2 DELTA
SIMULATION 結果 (繰り返し10000回)
n=25

NO	1	2	3	... n
処理	A1 x 11	x 12 x 13 ... x 1n	A2 x 21 x 22 x 23 ... x 2n	
	Ak x k1 x k2 x k3 ... x kn			

表 3 多水準の1元配置のデータ

処理	良品	不良品	計
処理	A1 n·(1- \hat{P}_1)	n· \hat{P}_1	n
処理	A2 n·(1- \hat{P}_2)	n· \hat{P}_2	n
処理	Ak n·(1- \hat{P}_k)	n· \hat{P}_k	n
	計 k·n·(1- \hat{P})	k·n· \hat{P}	k·n

表 4 2×k 分割

また、 $\hat{P} = \frac{k}{\sum_{i=1}^k \hat{P}_i} / k$ である。 (15)
3.1 (0,1)法分散分析

2.1項と同様にして表5の分散分析表を得て
 F 検定し、 $F_0 \geq F$ なら $H_0: P_1 = P_2 = \dots = P_k$
を棄却する。

S. V.	S. S.	d. f.
A:	$SA = n \cdot \sum_{i=1}^k (\hat{P}_i - \bar{P})^2$	k-1
E:	$SE = n \cdot \sum_{i=1}^k \hat{P}_i \cdot (\hat{P}_i - \bar{P})$	k·(n-1)
T:	$ST = k·nP \cdot (1-P)$	k·n-1

表 5. 分散分析表

3.2 適合度検定

表4の $2 \times k$ 分割表において、統計量 χ^2_0 は

$$\begin{aligned}\chi^2_0 &= \frac{\sum_{i=1}^k (n\hat{P}_i - n\bar{P})^2}{n\bar{P}} + \frac{\sum_{i=1}^k \{n(1-\hat{P}_i) - n(1-\bar{P})\}^2}{n(1-\bar{P})} \\ &= \frac{n \sum_{i=1}^k (\hat{P}_i - \bar{P})^2}{\bar{P}(1-\bar{P})} = \frac{k \cdot n \cdot SA}{ST} \quad (16)\end{aligned}$$

となり、これと $\chi^2(k-1; 0.05)$ を比較し。
 $\chi^2_0 \geq \chi^2$ なら仮説 H_0 を棄却する。

3.3 逆正弦変換法

各 \hat{P}_i を逆正弦変換して平方和を求め、 F_0 と
 $F(k-1, 0.05)$ を比較し、 $F_0 \geq F$ なら、
仮説 H_0 を棄却する。ただし、

$$SA = \sum_{i=1}^k \left(\sin^{-1} \sqrt{\hat{P}_i} \right)^2 - \left(\sum_{i=1}^k \sin^{-1} \sqrt{\hat{P}_i} \right)^2 / k \quad (17)$$

$$VE = \frac{1}{4n} \quad (\phi_E = \infty) \text{ である。} \quad (18)$$

3.4 シミュレーション結果 ($2 < k = 3$)

図3、図4に $\pi \rho = 5$ に保った時の各方法
の検出力を $\pi = 10$ および $\pi = 25$ について図示
した。ただし、 $P_1 = P_2$ とし、 P_3 のみをス
トリッページさせた場合である。 $\pi \geq 25$ におい
ては各方法の差異は小さいが、 $\pi \leq 10$ では差が

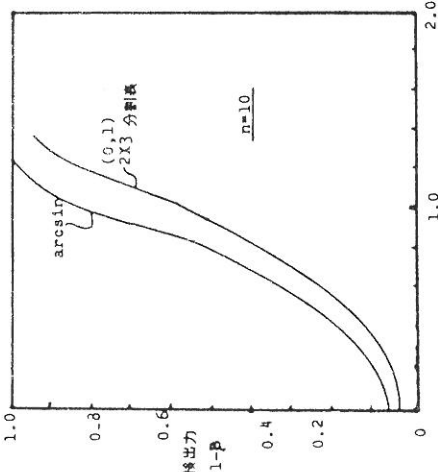


Fig. 3 SIMULATION 結果 (繰り返し10000回)

認められ、逆正弦変換が最も検出力が高く、
次いで(0,1)法および適合度検定である。

4. 総括

N=10の場合、實際には殆んど使用されたない
のが、明らかに正規近似でききよい場合
においても、ここで取り上げた各方法に大きな
差異はない。ただし、 $\Delta = 0$ の時す
なむち観測された有意水準は各方法で差が出
ている。^(注2)すなむち、表6においては(0,1)
法やWelchの方法は、他の方法に比較して有
意と出やすい結果となり、また表7において
は、逆正弦変換は他の方法に比較して有意と
出やすい結果となった。

表 6 SIMULATION 結果 (繰り返し10000回)

N	P1	P2	DELTA			arc sine
			(0,1)	arc sine	2x3 分割	
10	0.5	0.5	0	4.73	3.92	3.87
25	0.2	0.2	0	5.73	5.83	5.73

検出力 (%)

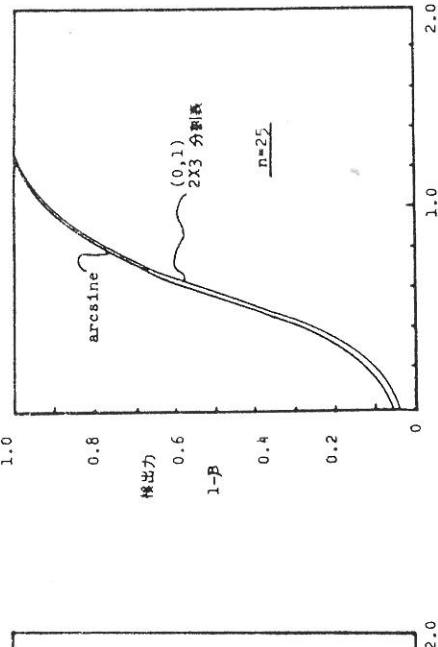


Fig. 4 SIMULATION 結果 (繰り返し10000回)

表7. SIMULATION 結果 (繰り返し10000回)

N	P1	P2	DELTA			arc sine
			(0,1)	arc sine	3水準1元配置	
10	0.5	0.5	0	4.28	4.28	7.74
25	0.2	0.2	0	4.51	4.61	6.60

[Observed Level of Significance]

$$\text{DELTA} = \frac{|P_1 - P_2|}{\sqrt{\frac{P_1 \cdot (1-P_1) + P_2 \cdot (1-P_2) + P_3 \cdot (1-P_3)}{3}}}$$

(注1) 従って、尤度比検定や、Logistic変換などは、取り上げなかつた。

(注2) 有意水準を5%に近づける為にはYatesの補正やランダマイズド検定を用いるべきであるが、繁雑さを避けるためのみならず、實際の使用頻度を考え、これらを除外した。

5. 結 言

(1)法をはじめ、種々の計数値データの取扱い法の検出力をシミュレーションにより比較検討した。本研究にあたり、神戸商大・田坂教授をはじめ、日科技連IEEの部会の諸氏より有益な御助言を得た。ここに深甚なる謝意を表する次第である。